

## Problema 2

### Ecuación de Calor: condiciones de contorno de Neumann

Resolveremos, mediante diferentes algoritmos, la ecuación de calor ya adimensionalizada

$$\frac{\partial[T(\tilde{x}, \tilde{t})]}{\partial \tilde{t}} = \frac{\partial^2[T(\tilde{x}, \tilde{t})]}{\partial^2 \tilde{x}} \quad (1)$$

con las siguientes condiciones de contorno e iniciales

$$T(x, 0) = \cos(\pi x), \quad \underbrace{\frac{\partial[T(0, t)]}{\partial x}}_{g_0} = \underbrace{\frac{\partial[T(L, t)]}{\partial x}}_{g_L} = 0 \quad (2)$$

- Modifique los códigos escritos en el problema anterior para que consideren condiciones de contorno de Neumann.
- Resuelva la ecuación utilizando los diferentes métodos. Utilice  $\Delta\tilde{x} = 0.05$  y  $\Delta\tilde{t} = 0.001$ . Al menos para alguno de ellos, haga un gráfico de superficie mostrando  $T(x, t)$  versus  $(x, t)$  y un mapa de temperatura incluyendo curvas de nivel.
- La solución analítica es

$$T(x, t) = \exp(-\pi^2 t) \cos(\pi x) \equiv T(x, 0) \exp(-\pi^2 t) \quad (3)$$

Compare en un gráfico de  $T(x, 1)$  versus  $x$  los tres métodos y la solución exacta. Grafique, además, el "máximo error absoluto" de la solución numérica a lo largo de la barra, para cada tiempo, versus tiempo. Compare los tres métodos (en la misma figura).

- Si disminuye a  $\Delta\tilde{t} = 0.00025$ , ¿qué espera obtener? ¿habría que cambiar/variar algo más? Repita las gráficas del inciso anterior, compare con resultados previos y discuta la teoría.

## Introducción

Aquí para calcular la cantidad de elementos finitos tuvimos en cuenta que

$$\Delta\tilde{x} = \frac{1}{(n+1)} \Rightarrow n = \text{int}\left(\frac{1}{\Delta\tilde{x}} - 1\right)$$

sin embargo, el calculo anterior puede no ser correcto pues, como  $n$  es entero y  $\Delta\tilde{x}$  es real, al hacer la conversión anterior pude darnos el entero inmediatamente anterior al correcto para obtener un  $\Delta\tilde{x}_{approx}$  lo más cercano al propuesto para ello, se utilizó la función módulo y se implementó el siguiente

```

1 [...]
2 integer(sp)      :: n           ! numero de elementos finitos (FE)
3 integer(sp)      :: a,b         ! variables auxiliares
4 real(dp),parameter :: x_step_adim=0.05 ! deltaX adimensional
5 ! calculo parte entera del modulo y del resto de x_step_adim^(-1)
6 a=int(mod(1._dp,x_step_adim),sp); b=int(1._dp/x_step_adim,sp)
7 ! calculamos el número de FE
8 n=(a+b-1_sp)*(1_sp/(1_sp-a))
9 [...]
```

esto nos asegura que el número entero  $n$  obtenido siempre nos asegura obtener el  $\Delta\tilde{x}_{approx}$  más cercano al real. Y además, como el valor de  $\Delta\tilde{x}$  debe estar entre cero y uno, la formula de la línea (10) nos asegura que no exista un error aritmético.

**Inciso a)**

Se tuvieron en cuenta las siguientes ecuaciones que modifican que nos permite modificar los códigos del problema 1 para utilizar las condiciones de contorno de Von-Neumann, en resumidas cuentas, los que hacemos es no sólo evolucionar los  $n$  puntos internos de la barra (de 2 a  $n + 1$  puntos) sino que también se evolucionan los puntos extremos, y en total se estarían evolucionando de 1 a  $n + 2$  puntos de la barra (todos los puntos físicos). Esta es la principal diferencia respecto a las condiciones de contorno de Dirichlet, es decir, el problema ahora se modifica agregando dos puntos "fantasmas" (los puntos ficticios 0 y  $n + 3$ ) y se encuentra una expresión de estos puntos en términos de los puntos reales de la grilla pero con el agregado de que ahora evolucionan todos los puntos de la barra (esto se hace aproximando la derivada, condiciones de borde de V-N, por su expresión en el método de diferencias centradas).

**Método explícito (diferencia hacia adelante para derivada temporal)**

$$\begin{aligned} T_{1,(j+1)} &= 2\eta T_{1,j} + (1 - 2\eta)T_{0,j} - 2\eta\Delta x g_0; i = 1 \\ T_{i,(j+1)} &= (1 - 2\eta)T_{i,j} + \eta[T_{(i-1),j} + T_{(i+1),j}] \quad \forall 2 \leq i \leq (n + 1) \\ T_{n+2,(j+1)} &= 2\eta T_{(n+2),j} + (1 - 2\eta)T_{(n+2),j} + 2\eta\Delta x g_{(n+2)}; i = (n + 2) \end{aligned}$$

**Método implícito (diferencia hacia atrás para derivada temporal)**

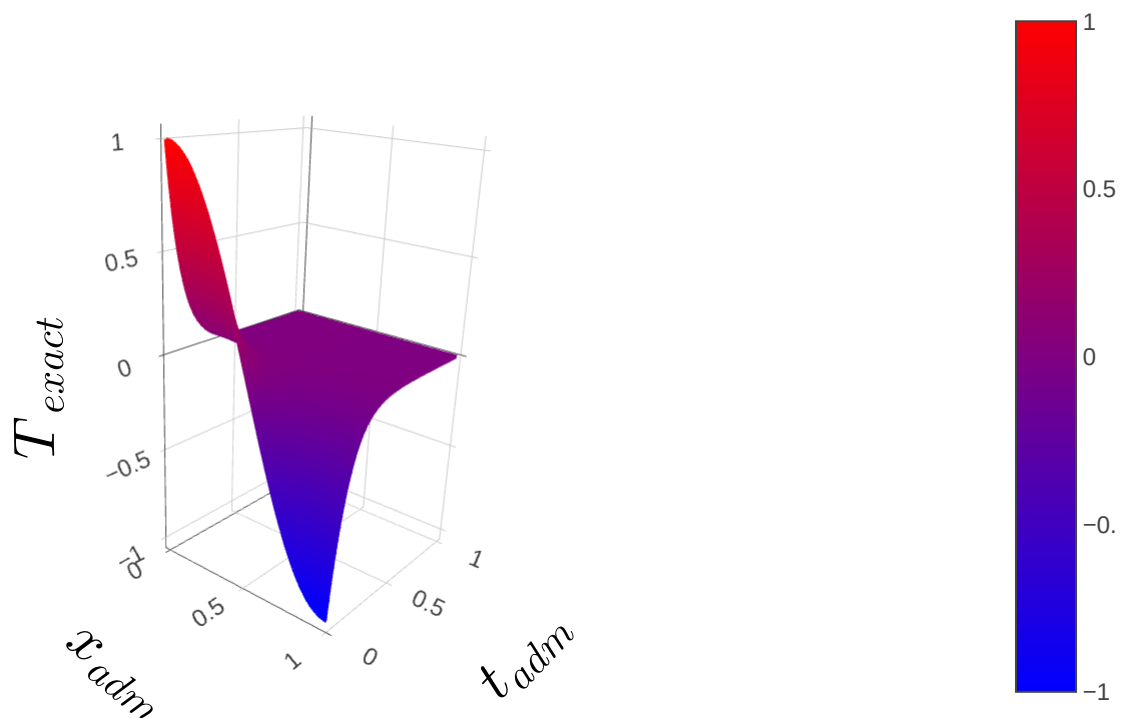
$$\begin{aligned} T_{1,(j+1)} &= -2\eta T_{1,j} + (1 - 2\eta)T_{0,j} + 2\eta\Delta x g_0; i = 1 \\ T_{i,(j+1)} &= (1 + 2\eta)T_{i,j} - \eta[T_{(i-1),j} + T_{(i+1),j}] \quad \forall 2 \leq i \leq (n + 1) \\ T_{n+2,(j+1)} &= -2\eta T_{(n+2),j} + (1 + 2\eta)T_{(n+2),j} - 2\eta\Delta x g_{(n+2)}; i = (n + 2) \end{aligned}$$

**Método de Crank-Nicolson (diferencia centrada para derivada temporal - split lineal)**

$$\begin{bmatrix} \frac{2}{\eta} + 2 & -2 & 0 & \cdots & \cdots 0 \\ -1 & \frac{2}{\eta} + 2 & -1 & \cdots & \cdots 0 \\ 0 & \cdots & \cdots & \cdots & \vdots \\ \vdots & 0 \cdots & -1 & \frac{2}{\eta} + 2 & -1 \\ 0 & 0 \cdots & 0 & -2 & \frac{2}{\eta} + 2 \end{bmatrix} \cdot \begin{bmatrix} T_{0,j+1} \\ T_{1,j+1} \\ \vdots \\ T_{n,j+1} \\ T_{n+1,j+1} \end{bmatrix} = \begin{bmatrix} \frac{2}{\eta} - 2 & -2 & 0 & \cdots & \cdots 0 \\ -1 & \frac{2}{\eta} - 2 & -1 & \cdots & \cdots 0 \\ 0 & \cdots & \cdots & \cdots & \vdots \\ \vdots & 0 \cdots & -1 & \frac{2}{\eta} - 2 & -1 \\ 0 & 0 \cdots & 0 & -2 & \frac{2}{\eta} - 2 \end{bmatrix} \cdot \begin{bmatrix} T_{0,j} \\ T_{1,j} \\ \vdots \\ T_{n,j} \\ T_{n+1,j} \end{bmatrix} + \begin{bmatrix} 2\eta\Delta x (g_{0,j} - g_{0,j+1}) \\ 0 \\ \vdots \\ 0 \\ -2\eta\Delta x (g_{n+1,j} - g_{n+1,j+1}) \end{bmatrix}$$

**inciso c)**

Si graficamos la solución exacta obtenemos el siguiente resultado



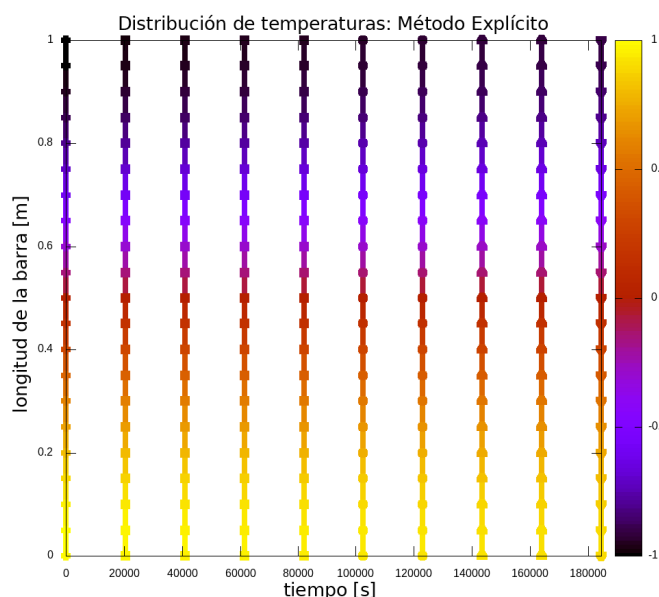
esto nos va a permitir comparar fielmente los resultados numéricos. Además, de la ecuación exacta y las condiciones de contorno vemos que las fórmulas consideran a todas las variables como adimensionales es decir, coordenada espacial ( $x$ ), coordenada temporal ( $t$ ) y temperatura ( $T$ ). Ahora bien, como la temperatura, para cualquier tiempo, oscila entre  $-1$  y  $1$  se deduce que estamos pensando en temperaturas adimensionales obtenidas a partir de temperaturas en grados centígrados pues, es posible obtener temperaturas negativas que sabemos que no puede ser así si consideramos temperaturas en Kelvins.

Por otro lado, como la temperatura de termalización es cero y las temperaturas máximas que puede alcanzar la barra son de  $\pm 1$  (valor no muy lejano al cero) los tiempos de relajación al equilibrio son relativamente cortos, comparados, por ejemplo, con el problema 1 de la guía (que requería  $\approx 15000$  pasos temporales de evolución). Aquí, con solo 1000 pasos temporales, la temperatura se encuentra a valores del  $\mathcal{O}(10^{-5})$ .

## Resultados y Discusiones

### Inciso b)

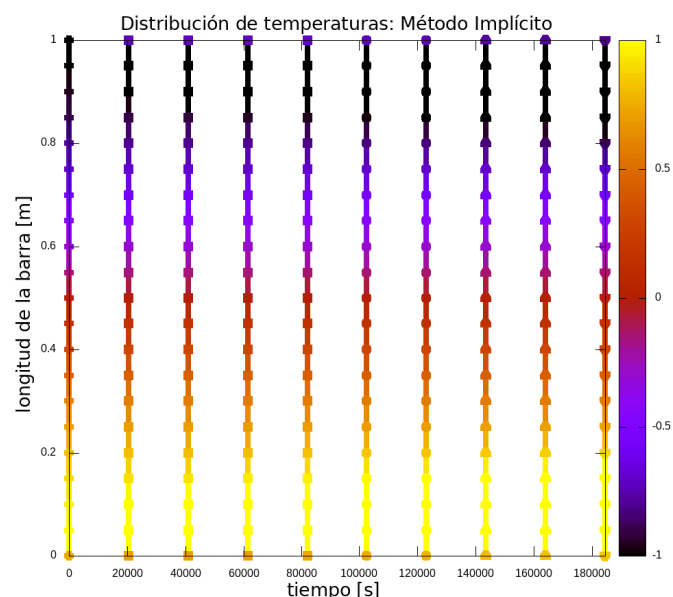
Los gráficos que muestran las distribuciones de temperatura vs el tiempo para los métodos explícito e implícito se muestran a continuación



**Figure 1:**

Si bien las coordenadas temporales y espaciales están adimensionalizadas se supuso que se trataba de una barra de  $1[m]$  de longitud (tal como fue definido en el problema 1 de la guía) y se dimensionalizó el tiempo con el tiempo característico de  $0.1025E+05[s]$ , además, se evolucionó la barra durante 20 pasos temporales y se imprimieron los datos cada 2 pasos temporales obteniendo 10 barras con su distribución de temperatura correspondiente.

Ahora bien, para el método de C-N se realizó un gráfico de superficie obteniendo,



**Figure 2:**

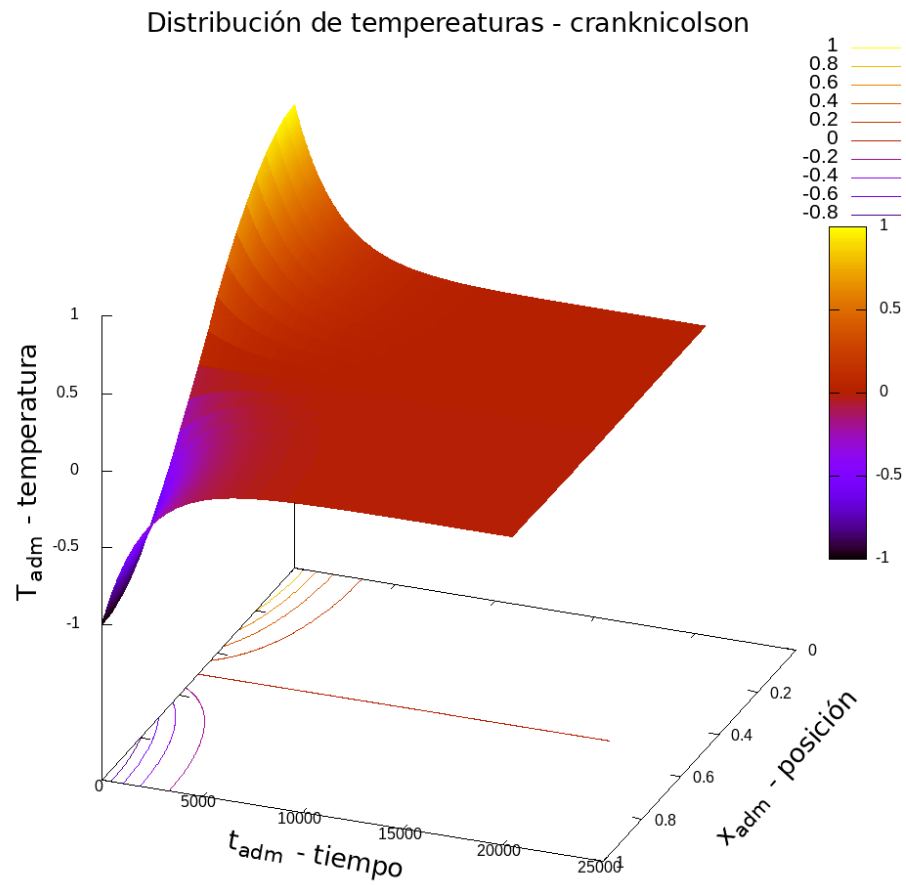


Figure 3:

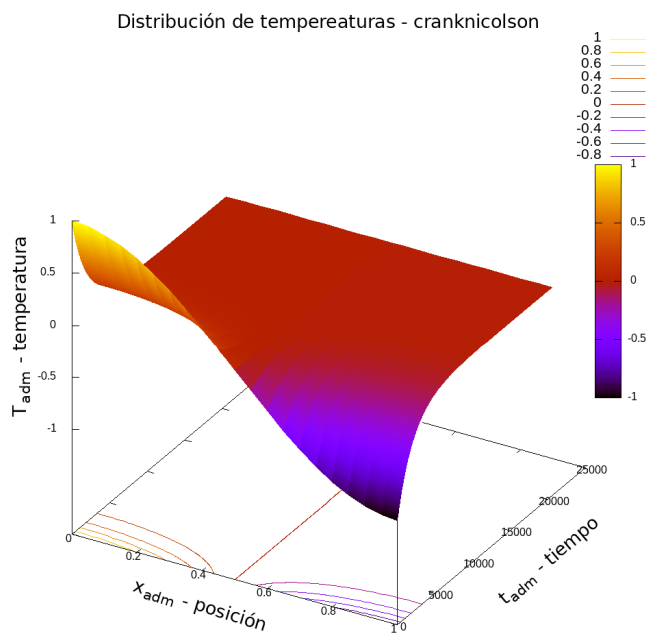


Figure 4:

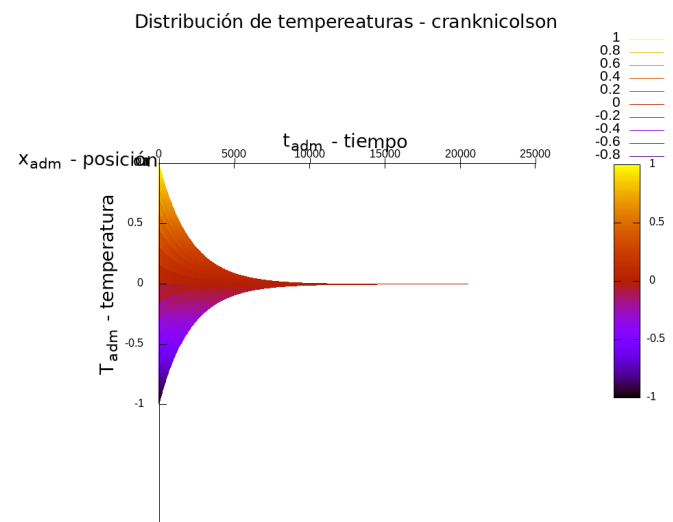


Figure 5:

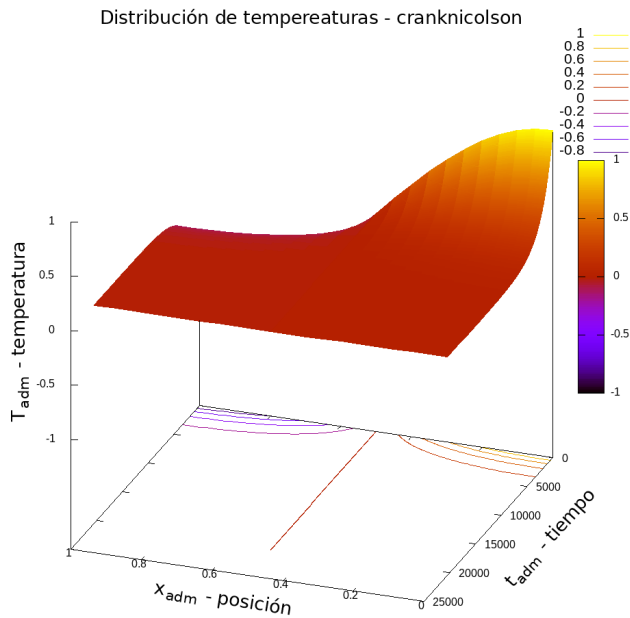


Figure 6:

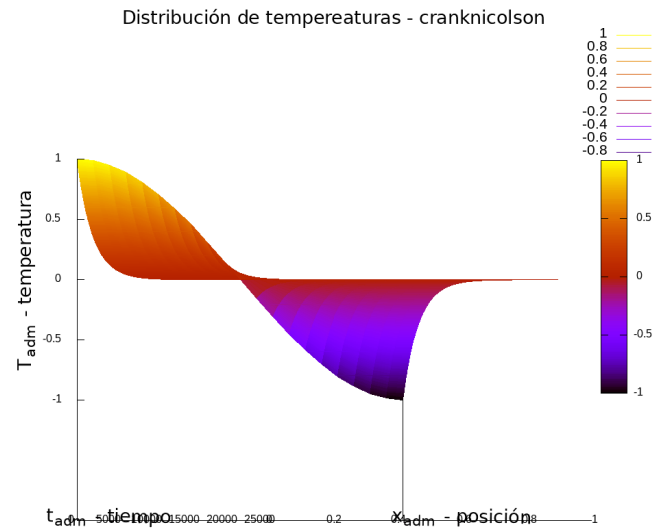


Figure 7:

Comparando esta gráfica de superficie con la superficie de la solución exacta vemos que son muy similares, en cada una de las dimensiones (por ello se han hecho vistas superior y lateral). Teniendo una distribución de temperaturas cosenoidal en el instante inicial y una distribución cosenoidal en el tiempo, modulada con una exponencial decreciente, lo cual nos muestra el rápido decaimiento al equilibrio térmico. En la base del gráfico se pueden apreciar algunas curvas de nivel.

**Inciso c)**

A continuación se muestran los errores numéricos obtenidos,

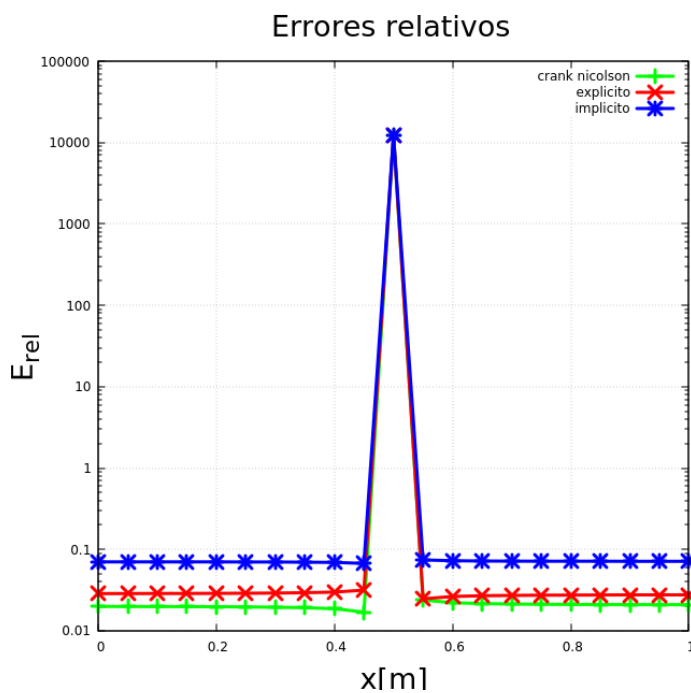


Figure 8:

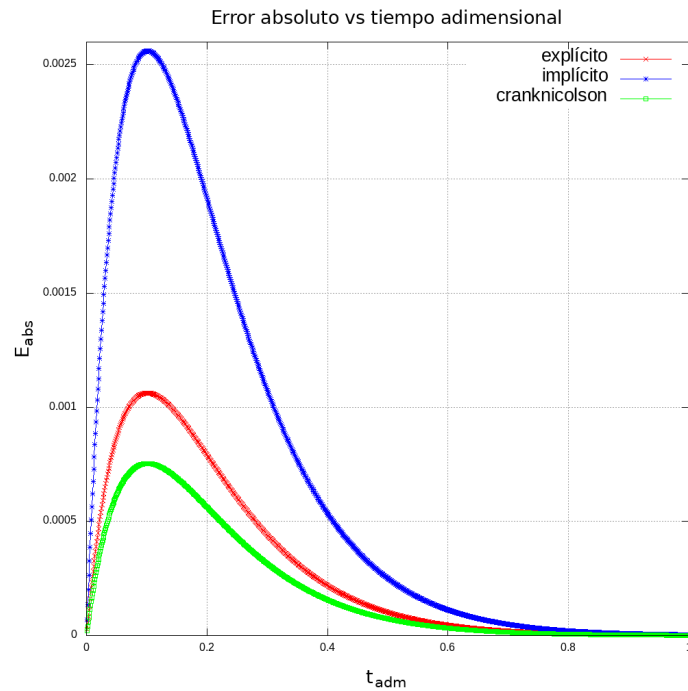
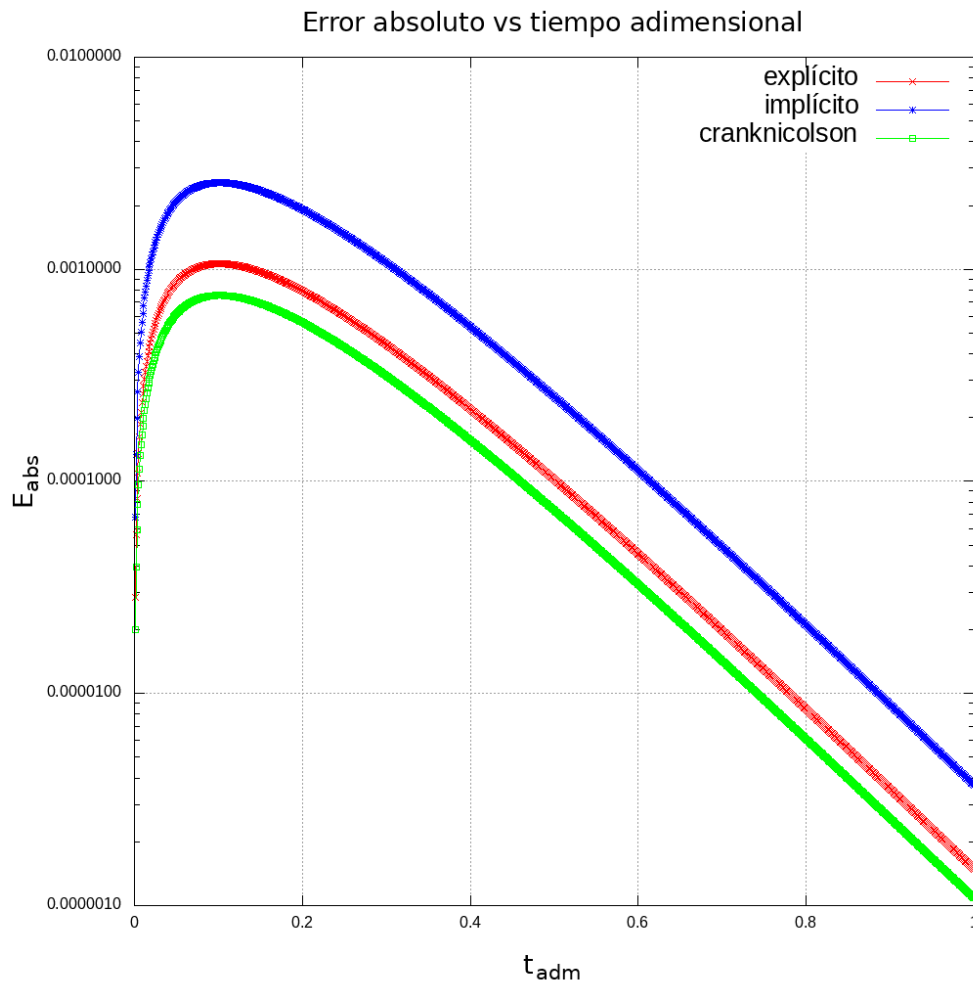


Figure 9:

En la primer figura, se observa el error relativo  $\epsilon_{rel} = \left| (\epsilon_{eacto} - \epsilon_{aprox.}) / \epsilon_{eacto} \right|$  para la distribución de temperaturas al tiempo fijo de  $t_{adm} = 1$  para cada posición de la barra. El mayor error se obtuvo

para el centro de la barra y para el método implícito, seguido por el método explícito y finalmente el método de C-N. Como el eje vertical se graficó en escala logarítmica notamos que los órdenes de magnitud son similares para cada uno de los métodos.

En la segunda figura, se observa el mayor error absoluto definido como  $\epsilon_{rel} = \max |(\epsilon_{exacto} - \epsilon_{aprox.})|$  para la distribución de temperaturas para todo tiempo (en el rango de  $0 \leq t_{adm} \leq 1$ ), al igual que en el caso anterior se observa que el método más preciso es el de C-N, seguido por el método implícito y finalmente por el método explícito. Además, en vemos que esta gráfica es útil para observar a que tiempo los errores son mayores, y a medida que incluimos más pasos temporales el error disminuye convergiendo al valor exacto. Si cambiamos la escala del eje vertical a logarítmica podremos apreciar la ley de potencia del error,



**Figure 10:**

al tener los tres métodos la misma pendiente siguen la misma ley de potencia.

**Inciso d)**

Si disminuimos la discretización temporal a un valor de  $\Delta\tilde{t} \equiv \Delta t_{adim} = 0.00025$  entonces tendremos que el parámetro para controlar estabilidad será (sin modificar la discretización espacial  $\Delta\tilde{x}$ )

$$\alpha = \frac{\Delta\tilde{t}}{(\Delta\tilde{x})^2} = \frac{0.00025}{(0.05)^2} = 0.1 < 0.5$$

los cual nos asegura que el método explícito es convergente y (como se ha discutido en el problema 1) si no modificamos la discretización en la coordenada espacial el error quizás disminuya pero no apreciablemente, pues la discretización de la barra seguirá siendo la misma que en los casos anteriores y el error mínimo estaría condicionado a esta discretización, lo que si se esperaría es que los tiempos de CPU sean mayores, pues para un tiempo final de termalización fijo, al achicar el

paso temporal nos tomaría más pasos evolucionar para llegar a dicho tiempo.

## Códigos

### Repositorio GitHub

<https://github.com/mendzmartin/fiscomp2022.git>

### Repositorio GitHub del problema

<https://github.com/mendzmartin/fiscomp2022/tree/main/lab02/prob02>

### Programas principales

[https://github.com/mendzmartin/fiscomp2022/blob/main/lab02/prob02/code/heateq\\_explicit\\_von\\_neumann.f90](https://github.com/mendzmartin/fiscomp2022/blob/main/lab02/prob02/code/heateq_explicit_von_neumann.f90)

[https://github.com/mendzmartin/fiscomp2022/blob/main/lab02/prob02/code/heateq\\_implicit\\_von\\_neumann.f90](https://github.com/mendzmartin/fiscomp2022/blob/main/lab02/prob02/code/heateq_implicit_von_neumann.f90)

[https://github.com/mendzmartin/fiscomp2022/blob/main/lab02/prob02/code/heateq\\_crank\\_nicolson\\_von\\_neumann.f90](https://github.com/mendzmartin/fiscomp2022/blob/main/lab02/prob02/code/heateq_crank_nicolson_von_neumann.f90)

[https://github.com/mendzmartin/fiscomp2022/blob/main/lab02/prob02/code/heateq\\_comparison\\_01.f90](https://github.com/mendzmartin/fiscomp2022/blob/main/lab02/prob02/code/heateq_comparison_01.f90)

[https://github.com/mendzmartin/fiscomp2022/blob/main/lab02/prob02/code/heateq\\_comparison\\_02.f90](https://github.com/mendzmartin/fiscomp2022/blob/main/lab02/prob02/code/heateq_comparison_02.f90)

[https://github.com/mendzmartin/fiscomp2022/blob/main/lab02/prob02/code/heateq\\_comparison\\_03.f90](https://github.com/mendzmartin/fiscomp2022/blob/main/lab02/prob02/code/heateq_comparison_03.f90)

### Módulos necesarios

[https://github.com/mendzmartin/fiscomp2022/blob/main/modules/module\\_precision.f90](https://github.com/mendzmartin/fiscomp2022/blob/main/modules/module_precision.f90)

[https://github.com/mendzmartin/fiscomp2022/blob/main/modules/module\\_tridiag\\_matrix.f90](https://github.com/mendzmartin/fiscomp2022/blob/main/modules/module_tridiag_matrix.f90)

### Bash script para correr los códigos

[https://github.com/mendzmartin/fiscomp2022/blob/main/lab02/prob02/code/script\\_run.sh](https://github.com/mendzmartin/fiscomp2022/blob/main/lab02/prob02/code/script_run.sh)

## Referencias

Chapman, S. (2007). *Fortran 95/2003 for Scientists & Engineers*. McGraw-Hill Education. [https://books.google.com/books/about/Fortran\\_95\\_2003\\_for\\_Scientists\\_Engineers.html?hl=&id=c8cLDQEACAAJ](https://books.google.com/books/about/Fortran_95_2003_for_Scientists_Engineers.html?hl=&id=c8cLDQEACAAJ)

Chapra, S. C., & Canale, R. P. (2007). *Métodos numéricos para ingenieros*. [https://books.google.com/books/about/M%C3%A9todos\\_num%C3%A9ricos\\_para\\_ingenieros.html?hl=&id=hoH0MAAACAAJ](https://books.google.com/books/about/M%C3%A9todos_num%C3%A9ricos_para_ingenieros.html?hl=&id=hoH0MAAACAAJ)

Landau, R. H., Mejía, M. J. P., Páñez, M. J., Kowallik, H., & Jansen, H. (1997). *Computational Physics*. Wiley-VCH. [https://books.google.com/books/about/Computational\\_Physics.html?hl=&id=MJ3vAAAAMAAJ](https://books.google.com/books/about/Computational_Physics.html?hl=&id=MJ3vAAAAMAAJ)

## Códigos explícitos

[https://github.com/mendzmartin/fiscomp2022/blob/main/lab02/prob02/code/heateq\\_explicit\\_von\\_neumann.f90](https://github.com/mendzmartin/fiscomp2022/blob/main/lab02/prob02/code/heateq_explicit_von_neumann.f90)

```

1  program heateq_explicit_von_neumann
2      use module_precision
3      implicit none
4      real(dp), parameter :: u0_Li=0._dp,u0_Lf=0._dp ! condiciones de contorno von neumann
5      integer(sp), parameter :: t_write=2_sp ! pasos temporales entre escrituras
6      real(dp), parameter :: t_step_adim=0.001_dp,x_step_adim=0.05_dp ! deltaT y deltaX adimensionales
7      real(dp) :: pi=4._dp*atan(1.0_dp)
8      real(dp) :: D ! coeficiente de difusión
9      real(dp) :: param_t,param_x ! parametros para adimensionalizar (espacial y temporal)
10     real(dp) :: alpha ! coeficiente para controlar estabilidad
11     integer(sp) :: i,j,k,istat
12     integer(sp) :: n,a,b ! numero de elementos finitos y variables auxiliares
13     real(dp), allocatable :: ux_old(:),ux_new(:)
14     20 format(E13.6,x,E13.6)
15     open(10,file='../results/result_01_explicit_vn.dat',status='replace',action='write',iostat=istat)
16     write(*,*) 'istat(10file) = ',istat
17     ! ANALISIS DIMENSIONAL
18     D=237._dp*(1._dp/(900._dp*2700._dp)) ! D = K/C*rho [L^2]/[t]
19     param_x=1._dp ! longitud característica (long total barra en metros) [L]
20     param_t=param_x*param_x*(1._dp/D) ! tiempo característico [t]
21     alpha=t_step_adim*(1._dp/(x_step_adim*x_step_adim))
22     ! verificamos condición de estabilidad debe ser menor a 1/2

```



```

23 write(*,'(A20,E10.4)') 'alpha = ',alpha; write(*,'(A20,E10.4)') 'param_t = ',param_t
24 ! calculamos la parte entera del modulo y del resto del inverso de x_step_adim
25 a=int(mod(1._dp,x_step_adim),sp);b=int(1._dp/x_step_adim);n=(a+b-1_sp)*(1_sp/(1_sp-a))
26 allocate(ux_old(n+2))
27 ! inicializamos el vector espacial a tiempo inicial
28 do i=1,n+2
29     ux_old(i)=cos(pi*real(i-1,dp)*x_step_adim)
30     write(10,20) real(i-1,dp)*x_step_adim,ux_old(i)
31 end do
32 allocate(ux_new(n+2))
33 ! hacemos la evolución temporal (considerando los extremos)
34 do k=1,10 ! evolucionamos (10*t_write) pasos temporales
35     do i=1,(t_write-1)
36         ux_new(1)=(1._dp-2._dp*alpha)*ux_old(1)+2._dp*alpha*(ux_old(2)-x_step_adim*u0_Li)
37         do j=2,(n+1); ux_new(j)=(1._dp-2._dp*alpha)*ux_old(j)+alpha*(ux_old(j+1)+ux_old(j-1));end do
38         ux_new(n+2)=(1._dp-2._dp*alpha)*ux_old(n+2)+2._dp*alpha*(ux_old(n+1)+x_step_adim*u0_Lf)
39         ux_old(1:n+2)=ux_new(1:n+2)
40     end do
41     ! escribimos valores luego de t_write pasos temporales
42     ux_new(1)=(1._dp-2._dp*alpha)*ux_old(1)+2._dp*alpha*(ux_old(2)-x_step_adim*u0_Li)
43     write(10,20) 0._dp,ux_new(1)
44     do j=2,(n+1)
45         ux_new(j)=(1._dp-2._dp*alpha)*ux_old(j)+alpha*(ux_old(j+1)+ux_old(j-1))
46         write(10,20) real(j-1,dp)*x_step_adim,ux_new(j)
47     end do
48     ux_new(n+2)=(1._dp-2._dp*alpha)*ux_old(n+2)+2._dp*alpha*(ux_old(n+1)+x_step_adim*u0_Lf)
49     write(10,20) real(n+1,dp)*x_step_adim,ux_new(n+2)
50 end do
51 close(10);deallocate(ux_old,ux_new)
52 end program heateq_explicit_von_neumann

```

[https://github.com/mendzmartin/fiscomp2022/blob/main/lab02/prob02/code/heateq\\_implicit\\_von\\_neumann.f90](https://github.com/mendzmartin/fiscomp2022/blob/main/lab02/prob02/code/heateq_implicit_von_neumann.f90)

```

1 program heateq_implicit_von_neumann
2 use module_precision;use module_tridiag_matrix
3 implicit none
4 real(dp), parameter :: u0_Li=0._dp, u0_Lf=0._dp ! condiciones de borde
5 real(dp), parameter :: t_step_adim=0.001_dp,x_step_adim=0.05_dp ! deltaT y deltaX adimensionales
6 integer(sp), parameter :: t_write=2_sp ! pasos temporales entre escrituras
7 real(dp) :: pi=4._dp*atan(1.0)
8 real(dp) :: param_t,param_x
9 real(dp) :: D ! thermal diffusivity
10 real(dp) :: alpha
11 integer(sp) :: n,a,b ! numero de elementos finitos y variables auxiliares
12 integer(sp) :: i,j,istat
13 real(dp), allocatable :: ux_old(:),ux_new(:),diag(:),diag_sup(:),diag_inf(:)
14 20 format(E13.6,x,E13.6)
15 open(10,file='../results/result_01_implicit_vn.dat',status='replace',action='write',iostat=istat)
16 write(*,*) 'istat(10file) = ',istat
17 ! parametros para adimensionalizar
18 D=237._dp*(1._dp/(900._dp*2700._dp)) ! D = K/C*rho [L^2]/[t]
19 param_x=1._dp ! longitud caracteristica (long total barra en metros) [L]
20 param_t=param_x*(1._dp/D) ! tiempo caracteristico (paso temporal en segundos) [t]
21 alpha=t_step_adim*(1._dp/(x_step_adim*x_step_adim))
22 ! calculamos la parte entera del modulo y del resto del inverso de x_step_adim
23 a=int(mod(1._dp,x_step_adim),sp);b=int(1._dp/x_step_adim);n=(a+b-1_sp)*(1_sp/(1_sp-a))
24 ! cargamos diagonales central, superior e inferior
25 allocate(diag(n+2),diag_sup(n+2),diag_inf(n+2))
26 diag_sup(n+2)=0._dp;diag_inf(1)=0._dp
27 do i=1,n+2
28     diag(i)=1._dp+2._dp*alpha
29     if (i/=1) diag_inf(i)=-alpha;if (i=n+2) diag_sup(i)=-alpha
30 end do
31 ! cambiamos los extremos de las diagonales inferior y superior
32 diag_inf(n+1)=diag_inf(n+1)*2._dp;diag_sup(2)=diag_sup(2)*2._dp
33 ! cargamos datos iniciales de temperatura
34 allocate(ux_old(n+2))
35 do i=1,n+2
36     ux_old(i)=cos(pi*real(i-1,dp)*x_step_adim)
37     write(10,20) real(i-1,dp)*x_step_adim,ux_old(i)
38 end do
39 ! aplicamos método implícito
40 allocate(ux_new(n+2))
41 do i=1,10
42     do j=1,(t_write-1)
43         ux_old(1)=ux_old(1)+2._dp*alpha*x_step_adim*u0_Li
44         ux_old(n+2)=ux_old(n+2)-2._dp*alpha*x_step_adim*u0_Lf

```



```

45      call implicit_method(n+2,diag,diag_sup,diag_inf,ux_old(:),ux_new(:))
46      ux_old(:)=ux_new(:)
47    end do
48      call implicit_method(n+2,diag,diag_sup,diag_inf,ux_old(:),ux_new(:))
49      do j=1,n+2;write(10,20) real(j-1,dp)*x_step_adim,ux_new(j);end do
50    end do
51    close(10);deallocate(diag,diag_sup,diag_inf,ux_old,ux_new)
52 end program heateq_implicit_von_neumann

```

[https://github.com/mendzmartin/fiscomp2022/blob/main/lab02/prob02/code/heateq\\_crank\\_nicolson\\_von\\_neumann.f90](https://github.com/mendzmartin/fiscomp2022/blob/main/lab02/prob02/code/heateq_crank_nicolson_von_neumann.f90)

```

1  program heateq_crank_nicolson_von_neumann
2  use module_precision;use module_tridiag_matrix
3  implicit none
4  real(dp), parameter :: u0_Li=0._dp, u0_Lf=0._dp ! condiciones de borde de Von Neumann (t=t0)
5  real(dp), parameter :: u1_Li=0._dp, u1_Lf=0._dp ! condiciones de borde de Von Neumann (t=t1)
6  real(dp), parameter :: t_step_adim=0.001_dp,x_step_adim=0.05_dp ! deltaT y deltaX adimensionales
7  integer(sp), parameter :: t_write=2_sp ! pasos temporales entre escrituras
8  real(dp), parameter :: pi=4._dp*atan(1.0)
9  real(dp), parameter :: D=237._dp*(1._dp/(900._dp*2700._dp)) ! thermal diffusivity(D=(K/C*rho)[L^2]/[t])
10 real(dp), parameter :: param_x=1._dp ! longitud característica (long total barra en metros) [L]
11 real(dp), parameter :: param_t=param_x*param_x*(1._dp/D) ! tiempo característico (paso temporal en segundos) [t]
12 real(dp), parameter :: alpha=t_step_adim*(1._dp/(x_step_adim*x_step_adim))
13 integer(sp) :: n,a,b ! numero de elementos finitos y variables auxiliares
14 integer(sp) :: i,j,istat
15 real(dp), allocatable :: ux_old(:),ux_new(:),diag(:),diag_sup(:),diag_inf(:)
16 real(dp), allocatable :: B_matrix(:,,:),A_matrix(:,,:)
17 20 format(E13.6,x,E13.6,x,E13.6)
18 open(10,file='../results/result_01_cranknicolson_vn.dat',status='replace',action='write',iostat=istat)
19 write(*,*) 'istat(10file) = ',istat
20 write(*,*) 't_adim = ',10*t_step_adim
21 ! calculamos la parte entera del modulo y del resto del inverso de x_step_adim
22 a=int(mod(1._dp,x_step_adim),sp);b=int(1._dp/x_step_adim);n=(a+b-1_sp)*(1_sp/(1_sp-a))
23 ! CARGAMOS DIAGONALES CENTRAL, SUPERIOR E INFERIOR
24 allocate(diag(n+2),diag_sup(n+2),diag_inf(n+2))
25 diag(:)=2._dp*(1._dp/alpha+1._dp);diag_inf(:)=-1._dp;diag_sup(:)=-1._dp
26 ! cambiamos los extremos de las diagonales inferior y superior
27 diag_inf(n+2)=diag_inf(n+2)*2._dp;diag_sup(1)=diag_sup(1)*2._dp
28 diag_sup(n+2)=0._dp;diag_inf(1)=0._dp
29 ! CARGAMOS MATRIZ CUADRADA PARA USAR MÉTODO IMPLÍCITO
30 allocate(B_matrix(n+2,n+2))
31 B_matrix=0._dp ! elementos nulos fuera de la tribanda
32 do i=1,n+2
33   B_matrix(i,i)=2._dp*(1._dp/alpha-1._dp) ! diagonal principal
34   if (i/=1) B_matrix(i,i-1)=1._dp ! diagonal inferior
35   if (i/=n+2) B_matrix(i,i+1)=1._dp ! diagonal superior
36 end do
37 ! cambiamos los extremos de las diagonales inferior y superior de la matriz B
38 B_matrix(n+2,n+1)=B_matrix(n+2,n+1)*2._dp;B_matrix(1,2)=B_matrix(1,2)*2._dp
39 ! CARGAMOS DATOS INICIALES DE TEMPERATURA
40 allocate(A_matrix(n+2,1)) ! matriz auxiliar p/matmul (column vector rank=2)
41 allocate(ux_old(n+2))
42 do i=1,n+2
43   ux_old(i)=cos(pi*real(i-1,dp)*x_step_adim);A_matrix(i,1)=ux_old(i)
44   write(10,20) 0.0_dp,real(i-1,dp)*x_step_adim,ux_old(i)
45 end do
46 write(10,*) ''
47 ! CARGAMOS DATOS INICIALES PARA APLICAR MÉTODO IMPLÍCITO
48 A_matrix=matmul(B_matrix,A_matrix);ux_old(:)=A_matrix(:,1)
49 ! APLICAMOS MÉTODO IMPLÍCITO
50 allocate(ux_new(n+2))
51 do i=1,1000
52   do j=1,(t_write-1)
53     ux_old(1)=ux_old(1)+2._dp*alpha*x_step_adim*(u0_Li-u1_Lf)
54     ux_old(n+2)=ux_old(n+2)-2._dp*alpha*x_step_adim*(u0_Lf-u1_Lf)
55     call implicit_method(n+2,diag,diag_sup,diag_inf,data_vector=ux_old(:),unknown_vector=ux_new(:))
56     A_matrix(:,1)=ux_new(:);A_matrix=matmul(B_matrix,A_matrix);ux_old(:)=A_matrix(:,1)
57   end do
58   call implicit_method(n+2,diag,diag_sup,diag_inf,ux_old(:),ux_new(:))
59   do j=1,n+2;write(10,20) t_write*i*t_step_adim*param_t,real(j-1,dp)*x_step_adim, ux_new(j);end do
60   write(10,*) ''
61 end do
62 close(10);deallocate(diag,diag_sup,diag_inf,ux_old,ux_new,B_matrix,A_matrix)
63 end program heateq_crank_nicolson_von_neumann

```

[https://github.com/mendzmartin/fiscomp2022/blob/main/lab02/prob02/code/heateq\\_comparison\\_01.f90](https://github.com/mendzmartin/fiscomp2022/blob/main/lab02/prob02/code/heateq_comparison_01.f90)

```

1  program heateq_comparison_01
2  use module_precision
3  implicit none
4  real(dp), parameter :: u0_Li=0._dp,u0_Lf=0._dp ! condiciones de contorno von neumann
5  real(dp), parameter :: t_step_adim=0.001_dp,x_step_adim=0.05_dp ! deltaT y deltaX adimensionales
6  real(dp), parameter :: t_write_adim=1._dp ! tiempo adimensional de evolución
7  real(dp), parameter :: pi=4._dp*atan(1.0)
8  real(dp), parameter :: D=237._dp*(1._dp/(900._dp*2700._dp)) ! thermal diffusivity(D=(K/C*rho)[L^2]/[t])
9  real(dp), parameter :: param_x=1._dp ! longitud característica (long total barra en metros) [L]

```

```

10 real(dp), parameter :: param_t=param_x*param_x*(1._dp/D) ! tiempo característico (paso temporal en segundos) [t]
11 real(dp), parameter :: alpha=t_step_adim*(1._dp/(x_step_adim*x_step_adim))
12 integer(sp), parameter :: t_write=int(t_write_adim*(1._dp/t_step_adim),sp) ! pasos temporales de evolución
13 integer(sp) :: i,j,k,istat
14 real(dp) :: T_exact ! Temperatura exacta
15 real(dp) :: err_new ! errores absolutos
16 integer(sp) :: n,a,b ! numero de elementos finitos y variables auxiliares
17 real(dp), allocatable :: ux_old(:),ux_new(:),err(:)
18 20 format(E13.6,x,E13.6);21 format(E13.6,x,E13.6,x,E13.6)
19 open(10,file='../results/result_02_explicit_vn.dat',status='replace',action='write',iostat=istat)
20 write(*,*) 'istat(10file) = ',istat
21 open(11,file='../results/result_02_explicit_vn.dat',status='replace',action='write',iostat=istat)
22 write(*,*) 'istat(11file) = ',istat
23 open(12,file='../results/result_02_explicit_vn_err.dat',status='replace',action='write',iostat=istat)
24 write(*,*) 'istat(12file) = ',istat
25 ! verificamos condición de estabilidad debe ser menor a 1/2
26 write(*, '(A20,E10.4)') 'alpha = ',alpha; write(*, '(A20,E10.4)') 'param_t = ',param_t
27 ! calculamos la parte entera del modulo y del resto del inverso de x_step_adim
28 a=int(mod(1._dp,x_step_adim),sp);b=int(1._dp/x_step_adim);n=(a+b-1_sp)*(1_sp/(1_sp-a))
29 allocate(ux_old(n+2))
30 ! inicializamos el vector espacial a tiempo inicial
31 do i=1,n+2;ux_old(i)=cos(pi*real(i-1,dp)*x_step_adim);end do
32 ! hacemos la evolución temporal (considerando los extremos)
33 allocate(ux_new(n+2),err(t_write))
34 err(:)=0._dp
35 do i=1,(t_write-1)
36   ux_new(1)=(1._dp-2._dp*alpha)*ux_old(1)+2._dp*alpha*(ux_old(2)-x_step_adim*u0_Li)
37   ! imprimimos errores absolutos para todo t
38   call exact_solution(real(i,dp)*t_step_adim,0._dp,T_exact)
39   err_new=abs(T_exact-ux_new(1));if (err_new>err(i)) err(i)=err_new
40   do j=2,(n+1)
41     ux_new(j)=(1._dp-2._dp*alpha)*ux_old(j)+alpha*(ux_old(j+1)+ux_old(j-1))
42     call exact_solution(real(i,dp)*t_step_adim,real(j-1,dp)*x_step_adim,T_exact)
43     err_new=abs(T_exact-ux_new(j));if (err_new>err(i)) err(i)=err_new
44   end do
45   ux_new(n+2)=(1._dp-2._dp*alpha)*ux_old(n+2)+2._dp*alpha*(ux_old(n+1)+x_step_adim*u0_Lf)
46   ux_old(1:n+2)=ux_new(1:n+2)
47   call exact_solution(real(i,dp)*t_step_adim,real(n+1,dp)*x_step_adim,T_exact)
48   err_new=abs(T_exact-ux_new(j));if (err_new>err(i)) err(i)=err_new
49   write(12,21) real(i,dp)*t_step_adim,err(i)
50 end do
51 ! escribimos valores luego de t_write pasos temporales
52 ux_new(1)=(1._dp-2._dp*alpha)*ux_old(1)+2._dp*alpha*(ux_old(2)-x_step_adim*u0_Li)
53 call exact_solution(t_write_adim,0._dp,T_exact)
54 err_new=abs(T_exact-ux_new(1));if (err_new>err(t_write)) err(t_write)=err_new
55 write(10,21) 0._dp,ux_new(1),abs((T_exact-ux_new(1))*(1._dp/T_exact));write(11,20) 0._dp,T_exact
56 do j=2,(n+1)
57   ux_new(j)=(1._dp-2._dp*alpha)*ux_old(j)+alpha*(ux_old(j+1)+ux_old(j-1))
58   call exact_solution(t_write_adim,real(j-1,dp)*x_step_adim,T_exact)
59   err_new=abs(T_exact-ux_new(j));if (err_new>err(t_write)) err(t_write)=err_new
60   write(10,21) real(j-1,dp)*x_step_adim,ux_new(j),abs((T_exact-ux_new(j))*(1._dp/T_exact))
61   write(11,20) real(j-1,dp)*x_step_adim,T_exact
62 end do
63 ux_new(n+2)=(1._dp-2._dp*alpha)*ux_old(n+2)+2._dp*alpha*(ux_old(n+1)+x_step_adim*u0_Lf)
64 call exact_solution(t_write_adim,real(n+1,dp)*x_step_adim,T_exact)
65 err_new=abs(T_exact-ux_new(j));if (err_new>err(t_write)) err(t_write)=err_new
66 write(10,21) real(n+1,dp)*x_step_adim,ux_new(n+2),abs((T_exact-ux_new(n+2))*(1._dp/T_exact))
67 write(11,20) real(n+1,dp)*x_step_adim,T_exact;write(12,20) t_write_adim,err(t_write)
68 close(10);deallocate(ux_old,ux_new)
69 end program heateq_comparison_01
70 subroutine exact_solution(t_adim,x_adim,T_exact)
71   use module_precision
72   implicit none
73   real(dp), intent(in) :: t_adim,x_adim
74   real(dp), intent(out) :: T_exact
75   real(dp), parameter :: pi=4._dp*atan(1.0)
76   T_exact=exp(-pi*pi*t_adim)*cos(pi*x_adim)
77 end subroutine exact_solution

```

[https://github.com/mendzmartin/fiscomp2022/blob/main/lab02/prob02/code/heatq\\_comparison\\_02.f90](https://github.com/mendzmartin/fiscomp2022/blob/main/lab02/prob02/code/heatq_comparison_02.f90)

```

1 program heateq_comparison_02
2   use module_precision;use module_tridiag_matrix
3   implicit none
4   real(dp), parameter :: u0_Li=0._dp, u0_Lf=0._dp ! condiciones de borde (von neumann)
5   real(dp), parameter :: t_step_adim=0.001_dp,x_step_adim=0.05_dp ! deltaT y deltaX dimensionales
6   real(dp), parameter :: t_write_adim=1._dp ! tiempo adimensional de evolución
7   real(dp), parameter :: pi=4._dp*atan(1.0)
8   real(dp), parameter :: D=237._dp*(1._dp/(900._dp*2700._dp)) ! thermal diffusivity(D=(K/C*rho)[L^2]/[t])
9   real(dp), parameter :: param_x=1._dp ! longitud característica (long total barra en metros) [L]
10  real(dp), parameter :: param_t=param_x*param_x*(1._dp/D) ! tiempo característico (paso temporal en segundos) [t]
11  real(dp), parameter :: alpha=t_step_adim*(1._dp/(x_step_adim*x_step_adim))
12  integer(sp), parameter :: t_write=int(t_write_adim*(1._dp/t_step_adim),sp) ! pasos temporales de evolución
13  integer(sp) :: n,a,b ! numero de elementos finitos y variables auxiliares
14  integer(sp) :: i,j,istat
15  real(dp) :: T_exact ! Temperatura exacta
16  real(dp) :: err_new ! errores absolutos
17  real(dp), allocatable :: ux_old(:),ux_new(:),diag(:),diag_sup(:),diag_inf(:),err(:)
18  20 format(E13.6,x,E13.6,x,E13.6);21 format(E13.6,x,E13.6)
19 open(10,file='../results/result_02_implicit_vn.dat',status='replace',action='write',iostat=istat)
20 write(*,*) 'istat(10file) = ',istat
21 open(11,file='../results/result_02_implicit_vn_err.dat',status='replace',action='write',iostat=istat)
22 write(*,*) 'istat(11file) = ',istat
23 ! calculamos la parte entera del modulo y del resto del inverso de x_step_adim
24 a=int(mod(1._dp,x_step_adim),sp);b=int(1._dp/x_step_adim);n=(a+b-1_sp)*(1_sp/(1_sp-a))
25 ! cargamos diagonales central, superior e inferior
26 allocate(diag(n+2),diag_sup(n+2),diag_inf(n+2))
27 diag(:)=1._dp+2._dp*alpha;diag_inf(:)=-alpha;diag_sup(:)=-alpha

```

```

28 ! cambiamos los extremos de las diagonales inferior y superior
29 diag_inf(n+2)=diag_inf(n+2)*2._dp;diag_sup(1)=diag_sup(1)*2._dp
30 diag_sup(n+2)=0._dp;diag_inf(1)=0._dp
31 ! cargamos datos iniciales de temperatura
32 allocate(ux_old(n+2))
33 do i=1,n+2;ux_old(i)=cos(pi*real(i-1,dp)*x_step_adim);end do
34 ! aplicamos método implícito, hacemos la evolución temporal (considerando los extremos)
35 allocate(ux_new(n+2),err(t_write))
36 err(:)=0._dp
37 do j=1,(t_write-1)
38   ux_old(1)=ux_old(1)+2._dp*alpha*x_step_adim*u0_Li
39   ux_old(n+2)=ux_old(n+2)-2._dp*alpha*x_step_adim*u0_Lf
40   call implicit_method(n+2,diag,diag_sup,diag_inf,ux_old(:),ux_new(:))
41   ux_old(:)=ux_new(:)
42   ! imprimimos errores absolutos para todo t
43   do i=1,n+2
44     call exact_solution(real(j,dp)*t_step_adim,real(i-1,dp)*x_step_adim,T_exact)
45     err_new=abs(T_exact-ux_new(i));if (err_new>err(j)) err(j)=err_new
46   end do;write(11,21) real(j,dp)*t_step_adim,err(j)
47 end do
48 ! escribimos valores luego de t_write pasos temporales
49 call implicit_method(n+2,diag,diag_sup,diag_inf,ux_old(:),ux_new(:))
50 do j=1,n+2
51   call exact_solution(t_write_adim,real(j-1,dp)*x_step_adim,T_exact)
52   err_new=abs(T_exact-ux_new(j));if (err_new>err(t_write)) err(t_write)=err_new
53   write(10,20) real(j-1,dp)*x_step_adim,ux_new(j),abs((T_exact-ux_new(j))*(1._dp/T_exact))
54 end do
55 write(11,21) real(t_write,dp)*t_step_adim,err(t_write)
56 close(10);deallocate(diag,diag_sup,diag_inf,ux_old,ux_new)
57 end program heateq_comparison_02
58 subroutine exact_solution(t_adim,x_adim,T_exact)
59   use module_precision
60   implicit none
61   real(dp), intent(in) :: t_adim,x_adim
62   real(dp), intent(out) :: T_exact
63   real(dp), parameter :: pi=4._dp*atan(1.0)
64   T_exact=exp(-pi*pi*t_adim)*cos(pi*x_adim)
65 end subroutine exact_solution

```

[https://github.com/mendzmartin/fiscomp2022/blob/main/lab02/prob02/code/heateq\\_comparison\\_03.f90](https://github.com/mendzmartin/fiscomp2022/blob/main/lab02/prob02/code/heateq_comparison_03.f90)

```

1  program heateq_comparison_03
2    use module_precision;use module_tridiag_matrix
3    implicit none
4    real(dp), parameter :: u0_Li=0._dp, u0_Lf=0._dp ! condiciones de borde de Von Neumann (t=t0)
5    real(dp), parameter :: u1_Li=0._dp, u1_Lf=0._dp ! condiciones de borde de Von Neumann (t=t1)
6    real(dp), parameter :: t_step_adim=0.001_dp,x_step_adim=0.05_dp ! deltaT y deltaX adimensionales
7    real(dp), parameter :: t_write_adim=1._dp ! tiempo adimensional de evolución
8    real(dp), parameter :: pi=4._dp*atan(1.0)
9    real(dp), parameter :: D=237._dp*(1._dp/(900._dp*2700._dp)) ! thermal diffusivity (D=(K/C*rho)[L^2]/[t])
10   real(dp), parameter :: param_x=1._dp ! longitud característica (long total barra en metros) [L]
11   real(dp), parameter :: param_t=param_x*param_x*(1._dp/D) ! tiempo característico (paso temporal en segundos) [t]
12   real(dp), parameter :: alpha=t_step_adim*(1._dp/(x_step_adim*x_step_adim))
13   integer(sp), parameter :: t_write=int(t_write_adim*(1._dp/t_step_adim),sp) ! pasos temporales de evolución
14   integer(sp) :: n,a,b ! numero de elementos finitos y variables auxiliares
15   integer(sp) :: i,j,istat
16   real(dp) :: T_exact ! Temperatura exacta
17   real(dp) :: err_new ! errores absolutos
18   real(dp), allocatable :: ux_old(:),ux_new(:),diag(:),diag_sup(:),diag_inf(:)
19   real(dp), allocatable :: B_matrix(:,:),A_matrix(:,:),err(:)
20   20 format(E13.6,x,E13.6,x,E13.6);21 format(E13.6,x,E13.6)
21   open(10,file='../results/result_02_cranknicolson_vn.dat',status='replace',action='write',iostat=istat)
22   write(*,*) 'istat(10file) = ',istat
23   open(11,file='../results/result_02_cranknicolson_vn_err.dat',status='replace',action='write',iostat=istat)
24   write(*,*) 'istat(11file) = ',istat
25   ! calculamos la parte entera del modulo y del resto del inverso de x_step_adim
26   a=int(mod(1._dp,x_step_adim),sp);b=int(1._dp/x_step_adim);n=(a+b-1_sp)*(1_sp/(1_sp-a))
27   ! CARGAMOS DIAGONALES CENTRAL, SUPERIOR E INFERIOR
28   allocate(diag(n+2),diag_sup(n+2),diag_inf(n+2))
29   diag(:)=2._dp*(1._dp/alpha+1._dp);diag_inf(:)=-1._dp;diag_sup(:)=-1._dp
30   ! cambiamos los extremos de las diagonales inferior y superior
31   diag_inf(n+2)=diag_inf(n+2)*2._dp;diag_sup(1)=diag_sup(1)*2._dp
32   diag_sup(n+2)=0._dp;diag_inf(1)=0._dp
33   ! CARGAMOS MATRIZ CUADRADA PARA USAR MÉTODO IMPLÍCITO
34   allocate(B_matrix(n+2,n+2))
35   B_matrix=0._dp ! elementos nulos fuera de la tribanda
36   do i=1,n+2
37     B_matrix(i,i)=2._dp*(1._dp/alpha-1._dp) ! diagonal principal
38     if (i/=1) B_matrix(i,i-1)=1._dp ! diagonal inferior
39     if (i/=n+2) B_matrix(i,i+1)=1._dp ! diagonal superior
40   end do
41   ! cambiamos los extremos de las diagonales inferior y superior de la matriz B
42   B_matrix(n+2,n+1)=B_matrix(n+2,n+1)*2._dp;B_matrix(1,2)=B_matrix(1,2)*2._dp
43   ! CARGAMOS DATOS INICIALES DE TEMPERATURA
44   allocate(A_matrix(n+2,1)) ! matriz auxiliar p/matmul (column vector rank=2)
45   allocate(ux_old(n+2))
46   do i=1,n+2;ux_old(i)=cos(pi*real(i-1,dp)*x_step_adim);A_matrix(i,1)=ux_old(i);end do
47   ! CARGAMOS DATOS INICIALES PARA APLICAR MÉTODO IMPLÍCITO
48   A_matrix=matmul(B_matrix,A_matrix);ux_old(:)=A_matrix(:,1)
49   ! APLICAMOS MÉTODO IMPLÍCITO: hacemos la evolución temporal (considerando los extremos)
50   allocate(ux_new(n+2),err(t_write))
51   err(:)=0._dp
52   do j=1,(t_write-1)
53     ux_old(1)=ux_old(1)+2._dp*alpha*x_step_adim*u0_Li*(u0_Li-u1_Lf)
54     ux_old(n+2)=ux_old(n+2)-2._dp*alpha*x_step_adim*(u0_Lf-u1_Lf)
55     call implicit_method(n+2,diag,diag_sup,diag_inf,data_vector=ux_old(:),unknown_vector=ux_new(:))
56     A_matrix(:,1)=ux_new(:);A_matrix=matmul(B_matrix,A_matrix);ux_old(:)=A_matrix(:,1)
57   do i=1,n+2

```

```

58      call exact_solution(real(j,dp)*t_step_adim,real(i-1,dp)*x_step_adim,T_exact)
59      err_new=abs(T_exact-ux_new(i));if (err_new>err(j)) err(j)=err_new
60      end do;write(11,21) real(j,dp)*t_step_adim,err(j)
61  end do
62  ! escribimos valores luego de t_write pasos temporales
63  call implicit_method(n+2,diag,diag_sup,diag_inf,ux_old(:),ux_new(:))
64  do j=1,n+2
65      call exact_solution(t_write_adim,real(j-1,dp)*x_step_adim,T_exact)
66      err_new=abs(T_exact-ux_new(j));if (err_new>err(t_write)) err(t_write)=err_new
67      write(10,20) real(j-1,dp)*x_step_adim,ux_new(j),abs((T_exact-ux_new(j))*(1._dp/T_exact))
68  end do
69  write(11,21) real(t_write,dp)*t_step_adim,err(t_write)
70
71  close(10);deallocate(diag,diag_sup,diag_inf,ux_old,ux_new,B_matrix,A_matrix)
72 end program heateq_comparison_03
73 subroutine exact_solution(t_adim,x_adim,T_exact)
74   use module_precision
75   implicit none
76   real(dp), intent(in) :: t_adim,x_adim
77   real(dp), intent(out) :: T_exact
78   real(dp), parameter :: pi=4._dp*atan(1.0)
79   T_exact=exp(-pi*pi*t_adim)*cos(pi*x_adim)
80 end subroutine exact_solution

```

## Módulos

[https://github.com/mendzmartin/fiscomp2022/blob/main/modules/module\\_precision.f90](https://github.com/mendzmartin/fiscomp2022/blob/main/modules/module_precision.f90)

```

1  module module_precision
2    implicit none
3    integer, parameter :: sp = selected_real_kind(p=6,r=37)    ! simple presicion (sp) class
4    integer, parameter :: dp = selected_real_kind(p=15,r=307)  ! double presicion (dp) class
5    integer, parameter :: qp = selected_real_kind(p=33,r=4931) ! quad presicion (dp) class
6  end module module_precision
7  !-----
8  ! REFERENCES
9  !-----
10 ! https://fortranwiki.org/fortran/show/Real+precision
11 !-----

```

[https://github.com/mendzmartin/fiscomp2022/blob/main/modules/module\\_tridiag\\_matrix.f90](https://github.com/mendzmartin/fiscomp2022/blob/main/modules/module_tridiag_matrix.f90)

```

1  module module_tridiag_matrix
2    use module_precision
3    implicit none
4    contains
5    subroutine implicit_method(n,diag,diag_sup,diag_inf,data_vector,unknown_vector)
6      ! variables de entrada/salida
7      integer(sp), intent(in) :: n                ! dimension del vector diagonal
8      real(dp), intent(out) :: unknown_vector(n)  ! vector de incognitas
9      real(dp), intent(in) :: diag(n),diag_sup(n),diag_inf(n) ! diagonales central, superior e inferior
10     real(dp), intent(in) :: data_vector(n)       ! vector de datos conocidos
11     ! variables locales
12     integer(sp) :: i                ! variable del loop
13     real(dp) :: diag_sup_new(n)     ! diagonal superior redefinida
14     real(dp) :: data_vector_new(n)  ! vector de datos redefinidos
15     real(dp) :: factor
16     ! descomposición LU
17     factor=1._dp/diag(1)
18     diag_sup_new(1)=diag_sup(1)*factor
19     data_vector_new(1)=data_vector(1)*factor
20     do i=2,n
21       factor=1._dp/(diag(i)-diag_inf(i)*diag_sup_new(i-1))
22       diag_sup_new(i)=diag_sup(i)*factor
23       data_vector_new(i)=(data_vector(i)-diag_inf(i)*data_vector_new(i-1))*factor
24     end do
25     ! sustitución hacia atrás
26     unknown_vector(n)=data_vector_new(n)
27     do i=(n-1),1,-1
28       unknown_vector(i)=data_vector_new(i)-diag_sup_new(i)*unknown_vector(i+1)
29     end do
30   end subroutine implicit_method
31 end module module_tridiag_matrix
32 ! Los vectores de entrada deben definirse de la siguiente manera
33 ! diag_sup = [ ds(1)  ds(2) ... ds(n-1) ds(n)=0 ]
34 ! diag_inf = [ di(1)=0 di(2) ... di(n-1) di(n) ]
35 ! diag      = [ d(1)  d(2) ... di(n-1) d(n) ]

```